



بررسی‌های کانه‌زایی و شاره‌های درگیر بر روی رگه‌های کانه‌زایی کوارتز در کانسار وراگرما می‌کالچویه، جنوب‌غربی نایین

رضوان مهوری^{*}، موسی نقره‌ئیان، محمدعلی مکی‌زاده

گروه زمین‌شناسی، دانشکده علوم، دانشگاه اصفهان

(دریافت مقاله: ۸۹/۸/۹، نسخه نهایی: ۹۰/۲/۱۳)

چکیده: نهشته‌ی مس کالچویه در ۱۱۰ کیلومتری شرق اصفهان، در پهنه‌ی ایران مرکزی و در کمربند ولکانولوتوونیک ارومیه-بزمان واقع شده است. سنگ میزبان این نهشته سنگ‌های آتشفسانی با ترکیب پیروکسن آندزیت و توف‌های ائوسن با سنگ‌شناسی توف ماسه‌ای و توف سنگی است. کانه‌های ماسه‌ای سنگ میزبان اصلی این نهشته هستند. کانه‌زایی به شکل رگه‌ای و رگچه‌ای بوده و کوارتز گانگ اصلی کانه‌زایی است. کانه‌های اولیه (هیپوژن) شامل دوفاز سولفیدی کالکوپیریت، گالن و فاز اکسیدی مگنتیت و کانه‌زایی سوپرژن سولفیدی شامل کوولیت و کالکوسبیت است. بررسی‌های ریزدماسنجی شاره‌های درگیر در کانه کوارتز نشان می‌دهد که دمای همگن شدن بین ۱۰۱ تا ۳۱۲ درجه سانتی‌گراد و درجه شوری از ۷/۳ تا ۰/۷ درصد وزنی معادل نمک طعام متغیر است. فرایند جوشش در شاره‌های کانه‌ساز در ۴۰۰ متر زیر سطح قدیمی آب رخ داده است. این مطالعات بیانگر وجود محلول کانه‌ساز با دمای کم تا متوسط، شوری پایین و قدرت کانه‌سازی کم می‌باشد. همچنین بررسی‌های انجام شده حاکی از آن است که کانه‌زایی فلزی کالچویه از نوع کانسارهای وراگرما با سولفیدی شدن پایین است.

واژه‌های کلیدی: شاره‌های درگیر، وراگرما، کوارتز، کالچویه، نایین.

پورفیری میدوک و سرجشمه است. نهشته‌ی مس کالچویه نیز در همین کمربند ولکانولوتوونیک و در طول جغرافیایی ۵۵° شرقی و عرض جغرافیایی ۳۲° ۳۳' شمالی واقع شده است. دستری به منطقه از طریق راه آسفالتی اصفهان-کوهپایه-ملahamed و راه آسفالتی مظفر آباد-کبر آباد-خرم دشت-طمینان-مهرآباد و مسیر خاکی مهرآباد-کالچویه امکان‌پذیر است و در فالصله‌ی ۱۴ کیلومتری جنوب شرقی مهرآباد قرار دارد (شکل ۲) [۲].

بر اساس رده‌بندی [۳]، کانسارهای گرمابی ناهمزاد به انواع مختلفی تقسیم می‌شوند که یکی از آن‌ها کانسارهای وراگرما می‌باشد. از ویژگی‌های این کانسارها عمق و دمای کم، دگرسانی

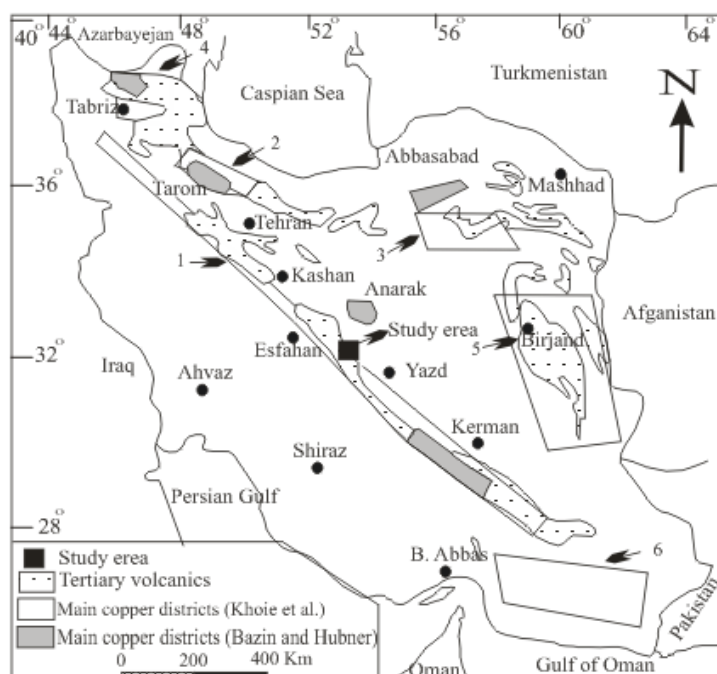
مقدمه

امروزه سولفیدهای مس منابع اصلی تولید مس را تشکیل می‌دهند. مس در صنایع مختلف از جمله صنایع الکتریکی و به ویژه ساخت سیم‌های برق و نیز در تهیه‌ی انواع آلیاژها به کار می‌رود. این موارد باعث شده است تا مس به عنوان یک فلز با اهمیت در زندگی شناخته شده باشد. به عقیده‌ی [۱] کانسارهای مس ایران در شش منطقه‌ی جغرافیایی واقع شده‌اند که عبارتند از: کمربند آتشفسانی ارومیه-بزمان، منطقه‌ی البرز باختری، منطقه‌ی کویر-سبزوار، سبلان، لوت، مکران (شکل ۱). مهمترین منطقه‌ی کانه‌زایی مس در ایران، کمربند ارومیه-بزمان است که میزبان کانسارهای مهمی همچون مس

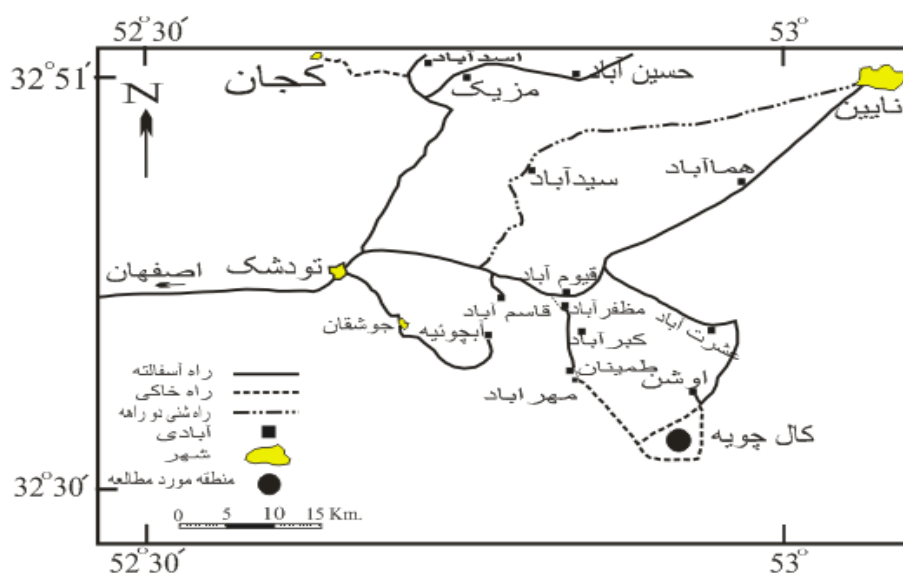
از سنگ‌های آذرین دگرگون شده، جریان‌های گدازه‌ی زیر دریایی و لایه‌هایی از سنگ آهک را نیز در بر دارند. این واحدها تحت تاثیر دگرسانی پروپلیتیک قرار گرفته‌اند به گونه‌ای که اپیدوت‌زایی شدیدی در این سنگ‌ها رخ داده است. بخش‌های آهکی (کوه تاج آباد) به سن کرتاسه پیشین‌اند و در کنار آنها کنگلومرای ائوسن در اثر عملکرد گسل رحیم آباد قرار گرفته است. طول و عرض توده‌های نفوذی با ترکیب میکرو گرانو

بروپلیتیک در سنگ‌های مافیک تا حد واسطه است و نیز به صورت رگه‌های سیلیسی شکاف پرکن، رگه‌های نامنظم، داربستی، دودکش‌های برشی، فضاها پرشده با شاره‌های انتشاری یافت می‌شوند [۴].

زمین‌شناسی و بررسی‌های صحرایی منطقه
کهن‌ترین واحدهای سنگی در گستره‌ی نهشته‌ی کالچویه واحدهای کرتاسه هستند که از نظر سنگ‌شناسی دارای ترکیبی



شکل ۱ مناطق اصلی کانسار سازی مس در ایران: ۱) کمربند ارومیه-دختر ۲) ناحیه‌ی البرز غربی ۳) ناحیه‌ی کویر- سبزوار ۴) ناحیه‌ی سبلان ۵) ناحیه‌ی لوت ۶) ناحیه‌ی مکران، برگرفته از [۱۷].



شکل ۲ موقعیت جغرافیایی و راه‌های دسترسی بهمنطقه مورد بررسی برگرفته از [۲] با تغییرات.

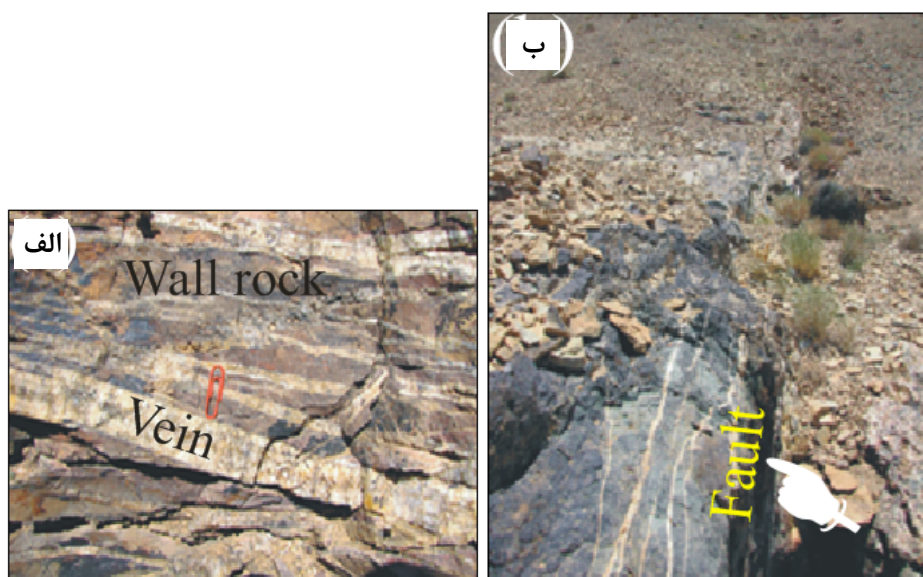
ضخامت کم در حد میلی‌متر و سانتی‌متر به وجود آمده‌اند که به‌وسیله‌ی سیلیس پرشده‌اند (شکل ۴ الف). رگه‌های سیلیسی در راستای گسل‌های منطقه هستند (شکل ۴ ب) و سیلیس در این درزها به صورت شکافه پرکن (شکل ۵ الف) بیشتر با ساختهای شانه‌ای (شکل ۵ ب) فضاهای خالی را پر کرده است. البته ساختهای توده‌ای و برشی نیز به مقدار کمتر قابل مشاهده‌اند. در بعضی از این رگه‌ها، ساختهای انحلالی نیز ایجاد شده که احتمالاً در این قسمت‌ها قبل‌اکانه‌هایی با ساختار بلوری راستگوش (کلسیت) نشست کرده و سپس در اثر انحلال از بین رفته و ساختهای جعبه‌ای را ایجاد کرده است (شکل ۵ پ). نیز در بررسی‌های صحرایی کوارتز بنفسن یا آمتیست نیز به همراه ژاسپر وئید به وفور قابل مشاهده‌اند و بنابر بررسی‌های انجام شده همراه با این رگه‌های سیلیسی، کانه‌زایی فلزی نیز صورت گرفته است. این کانه‌زایی احتمالاً در اثر نفوذ گرمابی‌های حاصل از توده‌های نفوذی با ترکیب گرانوودیوریت در راستای شکستگی‌های موجود در واحدهای ولکانیک و ولکانوکلاستیک در منطقه تشکیل شده است.

دیوریت پورفیروئید با روند شمال‌غربی-جنوب‌شرقی و سن احتمالی الیگوسن [۵] به ترتیب به ۲۰ کیلومتر و ۳ کیلومتر می‌رسد. این توده‌های نفوذی در واحدهای کرتاسه نفوذ کرده و باعث دگرگونی مجاورتی شده‌اند. در گستره‌ی مورد بررسی بیشترین رخنمون واحدهای سنگی وابسته به واحدهای ائوسن است و این واحدها، سنگ در بر گیرنده‌ی نهشته‌ی مس کالچویه را تشکیل می‌دهند (شکل ۳) [۵].

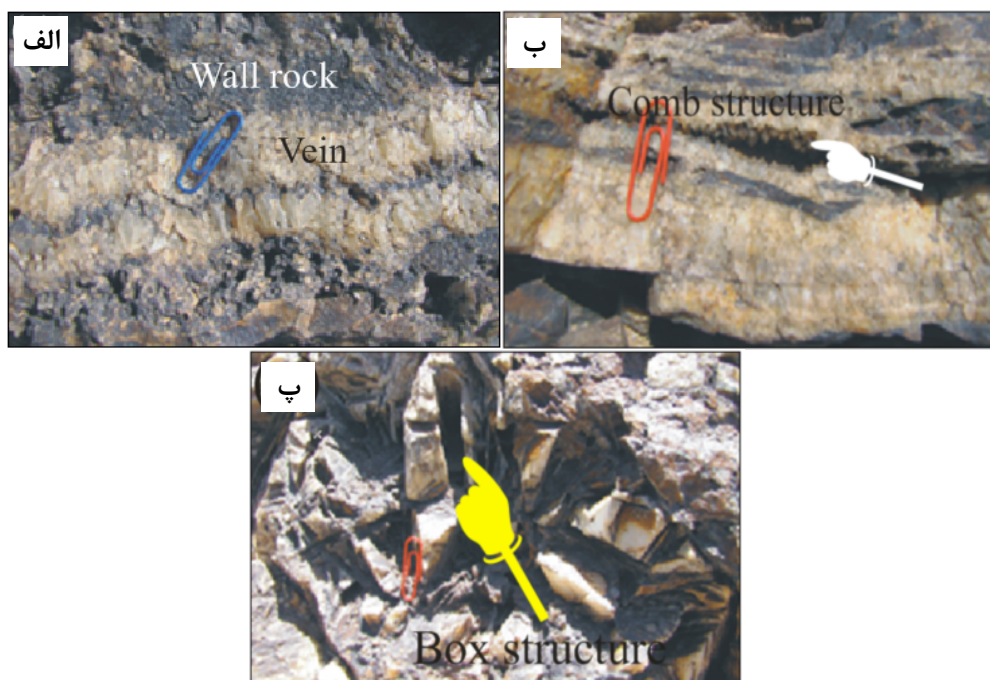
در بررسی‌های صحرایی و مشاهدات میکروسکوپی این پژوهش، لیتولوژی این واحدها بیشتر توف ماسه‌ای، توف سنگی و گدازه‌های پیروکسن آندزیت تشخیص داده شد. این واحدهای سنگی به طور فراگیر تحت تاثیر دگرسانی پروپلیتیک قرار گرفته و کانه‌های شاخص این دگرسانی بیشتر شامل اپیدوت، کلریت و کلسیت است به گونه‌ای که رگه‌ها و پرشده‌گی‌های فراوان اپیدوت و کلریت رنگ مایل به سبز در توف‌ها و گدازه‌های ائوسن ایجاد کرده است. واحدهای سنگی یاد شده تحت تاثیر فاز زمین‌ساختی پیرنه (ائوسن- اولیگوسن) قرار گرفته و درز و شکستگی و در بخش‌هایی حتی زون گسلی ایجاد شده است. این گسل‌ها حرکت‌های نسبی داشته و درزه‌هایی به



شکل ۳ نقشه‌ی زمین‌شناسی ساده شده منطقه، برگرفته از برگه‌ی زمین‌شناسی ۱:۱۰۰۰۰۰ کجان [۵] با اندکی تغییرات.



شکل ۴ (الف) رگه‌ها و رگچه‌های کوارتز که نشان دهندهی حالت نسبی و ضربانی گسل‌هاست (دید به سمت شمال) ب) رگه‌های کوارتز در راستای گسل‌های منطقه (دید به سمت خاور).



شکل ۵ (الف) نمایی از ساخت شکاف پرکن (ب) نمایی از ساختهای جعبه‌ای در اثر انحلال.

GPS از تعدادی از نمونه‌ها مقاطع نازک میکروسکوپی تهییه شد و با استفاده از میکروسکوپ قطبی‌شی Olympus با نور عبوری مدل BH-2 بررسی‌های سنگ شناسی و دگرسانی صورت گرفت. به منظور شناسایی کانه‌های فلزی، تعداد ۱۲ مقطع صیقلی از زون سیلیسی

روش بررسی

به منظور شناخت مقدماتی منطقه، نخست از نقشه‌ی ۱:۱۰۰۰۰۰ کجان [۵] و ۱:۲۵۰۰۰ نایین [۶] استفاده شد و سپس برای شناخت بیشتر، پس از چند بازدید صحرایی و نمونه‌برداری‌های سیستماتیک با استفاده از

درگیر از Hf-S90 (کنترل کننده‌ی دمایی TMS92) و سرد کننده‌ی نوع LNP استفاده شد. به منظور بررسی‌های دما و تعیین شوری شاره‌های کانه‌ساز حدود ۹۰ نمونه از شاره‌های درگیر مورد آزمون گرمایشی (جدول ۱) و ۲۸ نمونه نیز مورد آزمون سرمایشی (جدول ۲) قرار گرفتند.

تهیه شدند. این مقاطع با استفاده از میکروسکوپ پلاریزان الیمپوس مدل BX60 با نور عبوری مورد بررسی قرار گرفتند. در مرحله‌ی بعد و برای شناخت بیشتر شاره‌های درگیر، تعداد ۹ چیپس یا ویفر در کارگاه گروه زمین شناسی دانشگاه اصفهان تهیه شدند. برای سنگنگاری شاره‌های درگیر از یک میکروسکوپ قطبشی المپوس (مدل BH-2) و برای تعیین دمای شاره‌های

جدول ۱ دمای همگن شدن برای مجموعه شاره‌های درگیر نهشته‌ی کالچویه.

| Sample No. | T_h range ($^{\circ}\text{C}$) |
|------------|------------------------------------|
| 30G | ۲۳۴ (۷) |
| 30G | ۲۹۴ (۵) |
| 30G | ۳۰۰ (۳) |
| 30G | ۳۰۵ (۵) |
| 41G | ۲۰۳ (۸) |
| 41G | ۲۱۲ (۴) |
| 56 F | ۱۸۹ (۱۰) |
| 56 F | ۲۳۵ (۱) |
| 12G | ۱۴۰ (۱) |
| 12G | ۱۷۰ (۲) |
| 12G | ۲۹۴ (۳) |
| 12G | ۳۱۲ (۴) |
| 24G | ۲۱۵ (۵) |
| 24G | ۲۳۸ (۳) |
| 49G | ۲۲۴ (۴) |
| 49G | ۲۴۱ (۳) |
| 49G | ۲۴۷ (۲) |
| 36G | ۱۰۱ (۱) |
| 36G | ۱۹۳ (۳) |
| 36G | ۲۸۷ (۴) |
| 22G | ۲۴۲ (۴) |
| 22G | ۲۵۰ (۱) |
| 18G | ۲۲۹ (۱) |
| 18G | ۲۳۵ (۱) |
| 18G | ۲۴۲ (۲) |
| 18G | ۲۴۵ (۴) |

جدول ۲ نتایج بررسی‌های شاره‌های درگیر در نمونه‌های کوارتز نهشته‌ی کالچویه.

| Sample No. | Size (Micron) | L (%) | V (%) | T _{m(ice)} | T _h | Salinity (wt% NaCl equivalent) |
|------------|---------------|-------|-------|---------------------|----------------|--------------------------------|
| ۱ | ۱۵ | ۸۰ | ۲۰ | -۰,۵ | ۲۹۴ | ۰,۸۵ |
| ۲ | ۱۵ | ۷۵ | ۲۵ | -۰,۵ | ۳۰۰ | ۰,۸۵ |
| ۳ | ۶۰ | ۷۰ | ۳۰ | -۰,۵ | ۳۰۵ | ۰,۸۵ |
| ۴ | ۲۵ | ۸۰ | ۲۰ | -۰,۵ | ۲۲۴ | ۰,۸۵ |
| ۵ | ۴۰ | ۵۵ | ۴۵ | -۰,۵ | ۲۹۴ | ۰,۸۵ |
| ۶ | ۳۰ | ۸۵ | ۱۵ | -۰,۵ | ۳۰۵ | ۰,۸۵ |
| ۷ | ۵۰ | ۷۰ | ۳۰ | -۰,۴ | ۲۰۷ | ۰,۷ |
| ۸ | ۳۰ | ۶۵ | ۳۵ | -۰,۴ | ۲۰۳ | ۰,۷ |
| ۹ | ۲۰ | ۷۰ | ۳۰ | -۰,۴ | ۲۱۲ | ۰,۷ |
| ۱۰ | ۲۰ | ۸۵ | ۱۵ | -۰,۴ | ۲۰۳ | ۰,۷ |
| ۱۱ | ۱۵ | ۸۰ | ۲۰ | -۰,۴ | ۲۰۳ | ۰,۷ |
| ۱۲ | ۷۵ | ۸۰ | ۲۰ | -۰,۴ | ۲۱۲ | ۰,۷ |
| ۱۳ | ۲۵ | ۶۵ | ۳۵ | -۰,۴ | ۲۱۲ | ۰,۷ |
| ۱۴ | ۱۰ | ۷۰ | ۳۰ | -۰,۴ | ۲۰۷ | ۰,۷ |
| ۱۵ | ۱۴ | ۶۰ | ۴۰ | -۴,۲ | ۲۱۲ | ۷,۳ |
| ۱۶ | ۵ | ۸۰ | ۲۰ | -۴,۲ | ۲۱۲ | ۷,۳ |
| ۱۷ | ۴۷ | ۷۵ | ۲۵ | -۴,۲ | ۲۱۲ | ۷,۳ |
| ۱۸ | ۳۱ | ۸۵ | ۱۵ | -۰,۹ | ۱۸۹ | ۱,۵۳ |
| ۱۹ | ۴۲ | ۵۵ | ۴۵ | -۰,۹ | ۱۸۹ | ۱,۵۳ |
| ۲۰ | ۲۵ | ۸۰ | ۲۰ | -۰,۹ | ۲۳۵ | ۱,۵۳ |
| ۲۱ | ۱۵ | ۷۵ | ۲۵ | -۰,۹ | ۲۳۵ | ۱,۵۳ |
| ۲۲ | ۶ | ۱۰ | ۹۰ | -۲,۳ | ۲۲۹ | ۳,۹ |
| ۲۳ | ۱۰ | ۷۵ | ۲۵ | -۲,۳ | ۲۲۵ | ۳,۹ |
| ۲۴ | ۵۰ | ۸۰ | ۲۰ | -۱,۴ | ۲۴۲ | ۳ |
| ۲۵ | ۲۰ | ۷۰ | ۳۰ | -۱,۴ | ۲۴۲ | ۳ |
| ۲۶ | ۲۵ | ۸۰ | ۲۰ | -۱,۴ | ۲۴۵ | ۳ |
| ۲۷ | ۳۵ | ۶۵ | ۳۵ | -۱,۴ | ۲۴۵ | ۳ |
| ۲۸ | ۲۵ | ۸۵ | ۱۵ | -۱,۴ | ۲۴۵ | ۳ |

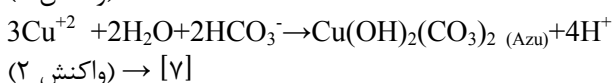
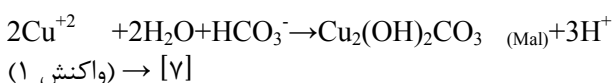
کالکوپیریت بیشتر به صورت بلورهای ریز و پراکنده با بافت افشاران و نیز رگه‌ای دیده می‌شود و در مراحل بعدی به طور بخشی بهوسیله‌ی گالن جانشین شده، به‌گونه‌ای که این کانی به شکل جزایری در داخل گالن مشاهده می‌شود. این کانه معمولاً به وسیله‌ی کوولیت (شکل ۶ الف)، کالکوسیت و گاهی در نتیجه‌ی اکسایش سطحی به گوتیت تبدیل شده است به گونه‌ای که مس آن آزاد شده و به صورت کربنات‌های آبدار مس در شکستگی‌ها و اطراف آنها قابل مشاهده است (شکل ۶ پ). کربنات‌های آبدار مس بیشتر به صورت مالاکیت و به مقدار کمتر آزوریت قابل مشاهده‌اند و با استفاده از محلول‌های مس

کانه نگاری

کانه‌زایی گرمابی به صورت پرکننده‌ی فضاهای خالی در سنگ‌های میزبان در راستای صفحه‌های گسلی رخ داده که ضخامت آنها از حد چندسانسی‌متر تجاوز نمی‌کند. ساختهای شانه‌ای، توده‌ای و برشی از سیماهای رایج کوارتز به عنوان پرکننده‌ی فضاهای خالی هستند. شواهد صحرایی نشان می‌دهند که کانه‌زایی بیشتر توسط عوامل زمین‌ساختی کنترل شده‌اند. کانه‌زایی هیپوژن به صورت کانی‌های سولفیدی کالکوپیریت و گالن و اکسیدی مگنتیت و در نوع سوپرژن کانی‌های سولفیدی از نوع کوولیت و کالکوسیت، کربناتی شامل مالاکیت و آزوریت و اکسیدی و هیدروکسیدی شامل هماتیت و گوثیت دیده شدند.

گازهای به دام افتاده در انواع کانسارها با یکدیگر تفاوت دارند. به دلیل همین تفاوت‌ها تصور بر آن است که از شاره‌های درگیر می‌توان به عنوان ابزاری مفید برای پی‌جویی کانسارها استفاده کرد [۸]. در این پژوهش از کانه کوارتز به عنوان یکی از مهم‌ترین کانه‌های شفاف برای بررسی رفتار شاره‌های درگیر استفاده شده است. خصوصیات ریخت‌شناسی و سنجش‌نامه شاره‌های درگیر به وسیله‌ی [۹، ۱۰] در دمای اتاق ثبت شدند. شاره‌های درگیر از نظر شکل ظاهری بیشتر میله‌ای، کروی، نامنظم، پهن و انسواعی با شکل بلور منفی (Negative Crystals) هستند و اندازه‌ی این شاره‌ها از ۵ تا ۷۵ میکرون است. شاره‌های درگیر مورد بررسی براساس ارتباط با کانه میزان به انواع اولیه، ثانویه (شکل ۷ الف) و ثانویه‌ی کاذب و بر اساس ارتباط با یکدیگر به انواع منفرد و دنباله‌دار (شکل ۷ پ و ت) رده‌بندی می‌شوند. بر اساس بررسی‌های سنجش‌نامه بعضی از شاره‌های درگیر پدیده‌ی گردن یافتگی (شکل ۷ ب) از خود نشان می‌دهند و این پدیده به کم شدن سطح

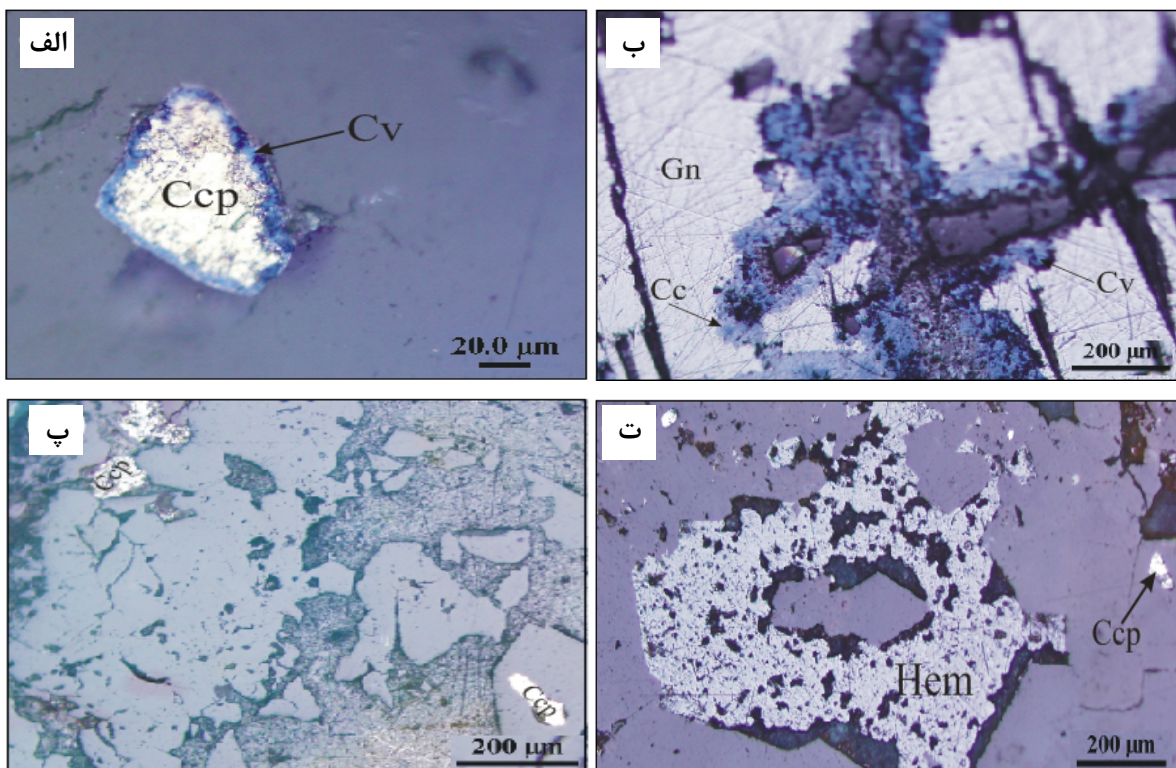
موجود در محیط برپایه‌ی واکنش‌های ۱ و ۲ تشکیل می‌شوند [۷].



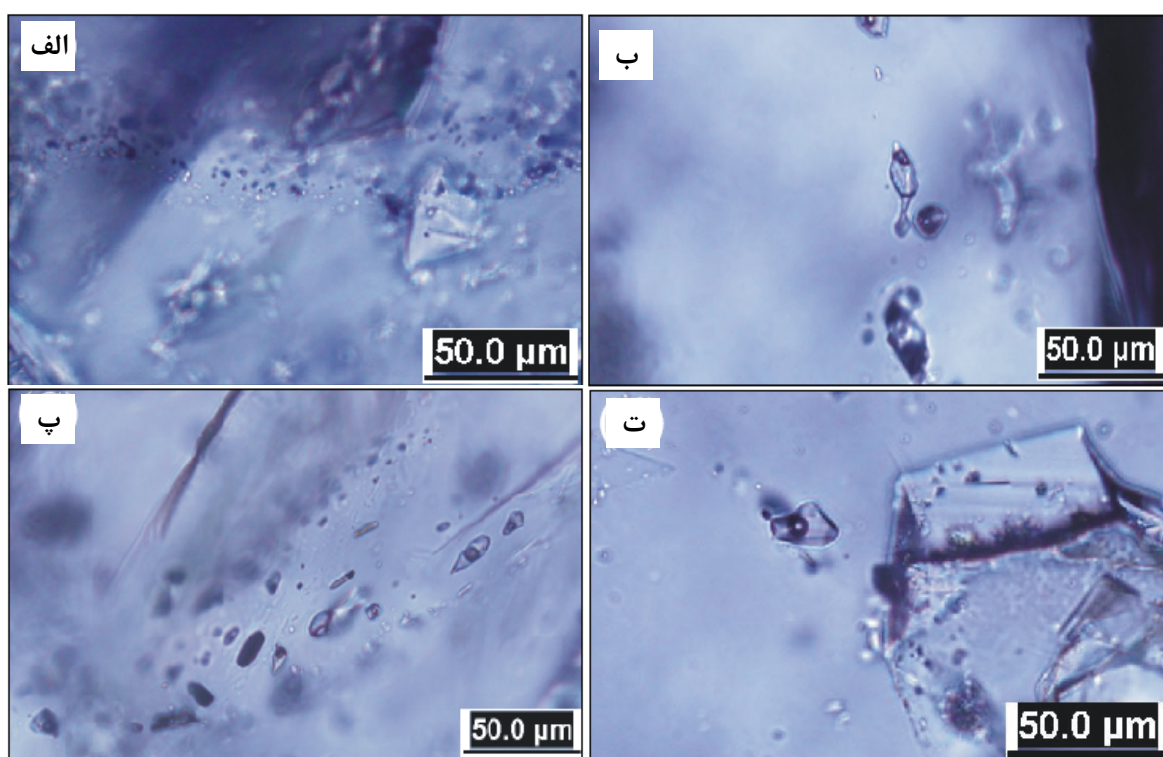
گالن به عنوان یک کانه سولفیدی به صورت رگه‌ای حضور داشته و بیشتر جانشین کالکوپیریت شده است. با توجه به بررسی‌های میکروسکوپی، رخ‌های مثلثی گالن در یک جهت کشیدگی بیشتری داشته و این دلالت بر فشارهای زمین‌ساختی وارد بر منطقه دارد (شکل ۶ ب). مگنتیت از کانه‌های اکسیدی درون‌زاد است و به صورت چشمگیری به وسیله هماتیت جانشین شده است (شکل ۶ ت).

بررسی شاره‌های درگیر

امروزه بررسی شاره‌های درگیر یکی از راههای اساسی برای شناخت گونه‌های کانسارها و پی‌جویی آنهاست. خصوصیات شاره‌های درگیر نظیر ترکیب شاره، دما، چگالی و ماهیت



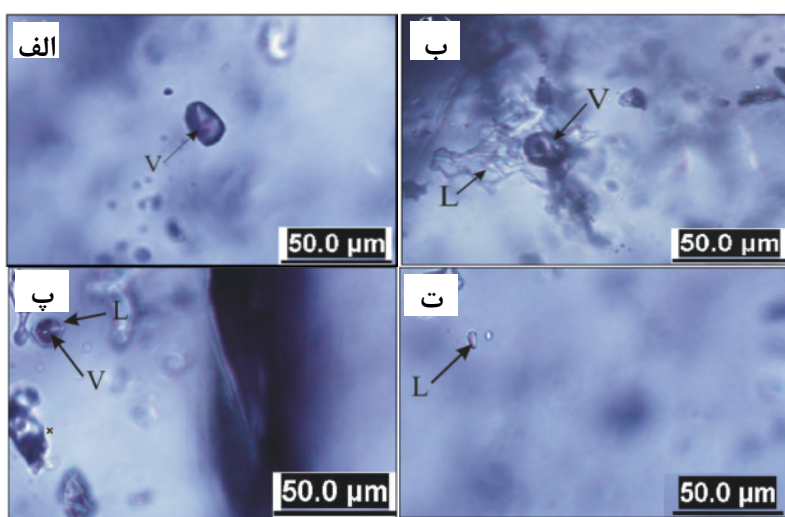
شکل ۶ (الف) بافت گرانولار و جانشینی، تبدیل شدگی کالکوپیریت به کوولیت در حاشیه (RPPL) (ب) پارازنز کانه‌های گالن، کالکوپیریت و کوولیت همراه با کشیدگی رخ‌های مثلثی گالن (RPPL) (پ) بافت افسان کالکوپیریت و همراهی آن با کربنات‌های آبدار مس (RPPL) (ت) بافت اسکلتی و جانشینی، هماتیت به طور کامل جانشین مگنتیت اولیه شده است (RPPL). Cv: کالکوپیریت، Cc: کوولیت، Gn: گالن، Hem: هماتیت، Mgt: مگنتیت و Ccp: کالکوپیریت، علام اختصاری از [۲۳] اقتباس شده است.



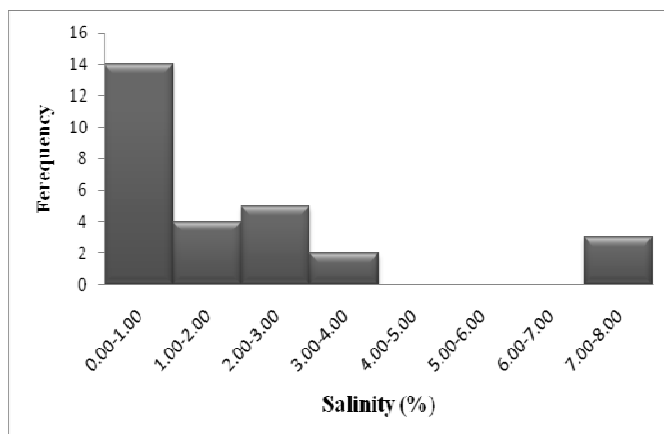
شکل ۷ تصاویر میکروسکوپی نشان دهنده‌ی الگوی توزیع شاره‌های شاخص کالچویه: (الف) شاره‌های در گیر ثانویه ب) گردن یافته‌گی در شاره در گیر پ) شاره‌های در گیر دنباله‌دار ت) شاره در گیر منفرد.

وزنی معادل نمک طعام (شکل ۹) و ۲۲۵ تا ۲۵۰ درجه سانتیگراد (شکل ۱۰) است. شوری پایین نمونه‌ها بیانگر آن است که کانه‌سازی در منطقه‌ی با شرایط اپی ترمال رخ داده است [۱۱۸]. شاره‌های کانه‌زا در مرحله‌ی بعد از ماقمایی در دمای کم حدود ۳۰۰ درجه‌ی سانتیگراد شکل گرفته‌اند. با توجه به بررسی مقاطع صیقلی، حضور کانه‌های درونزad نظیر کالکوپیریت، گالن و مگنتیت در رگه‌ها در نتیجه‌ی تهنشینی از این شاره‌ها در اثر پدیده‌ی جوشش است. وجود کوولیت و کالکوست به صورت ثانویه که بیشتر در اثر جانشینی حاشیه‌ای کالکوپیریت ایجاد شده‌اند بیانگر شرایط برونزایی و در نتیجه‌ی عمل شاره‌های با دمای ۱۵۰ تا ۲۵۰ درجه‌ی سانتیگراد روی کانه‌های تشکیل شده در مرحله‌ی قبل است. کانه‌های اکسیدی و هیدروکسیدی از قبیل هماتیت و گوتیت از دگرسانی کانه‌های سولفیدی و اکسیدی در شرایط سطحی تشکیل شده‌اند.

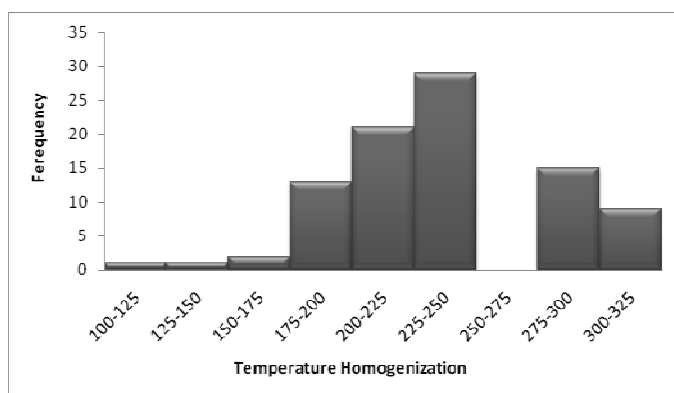
انرژی بالای این شاره‌های در گیر وابسته است. با توجه به بررسی‌های انجام شده روی ۸ نمونه تراشه‌ی (Chips) کوارتزی، چهارگروه از شاره‌های در گیر در دمای اتاق تشخیص داده شدند که عبارتند از: ۱- تک فازی گاز (V)-۲- تک فازی آبگون (L)-۳- دوفازی آبگون- گاز (V)-۴- دوفازی گاز- آبگون (L + V) (شکل ۸ الف تا ت). بیشتر شاره‌های در گیر مورد بررسی دوفازی (L + V) غنی از آبگونند و میزان فاز آبگون این شاره‌ها از ۱۰ تا ۸۵ درصد تغییر می‌کند. بررسی ریزدماسنجی نمونه‌های کوارتز وابسته به کانه‌زایی، نشان می‌دهد که درجه‌ی شوری محاسبه شده بر اساس دمای نهایی انحلال آخرین قطعه یخ [۹] و دمای همگن شدن شاره‌ها در این نوع کانه‌زایی به ترتیب بین ۰/۷ تا ۷/۳ درصد وزنی معادل نمک طعام و ۱۰۱ تا ۳۱۲ درجه‌ی سانتی گراد متغیرند (جدول‌های ۱ و ۲). بر اساس این بررسی‌ها بیشترین فراوانی درجه‌ی شوری و دمای همگن شدن شاره‌های در گیر در این نوع کانه‌زایی کمتر از ۱ درصد



شکل ۸ (الف) شاره‌ی درگیر تک فازی گاز (V)، (ب) شاره‌ی درگیر دو فازی (L) فاز مایع و (V) فاز گاز، (پ) شاره‌ی درگیر تک فازی آبگون (L)، (ت) شاره‌ی درگیر دو فازی (V) فاز گاز و (L) فاز آبگون.



شکل ۹ شوری شاره‌های درگیر نسبت به فراوانی آنها در نهشته‌ی کالچویه.



شکل ۱۰ دمای همگن شدن شاره‌های درگیر نسبت به فراوانی آنها در نهشته‌ی کالچویه.

گرمابی در بررسی‌های صحرایی و نیز همزیستی شاره‌های

درگیر غنی از بخار و غنی از مایع در بررسی‌های میکروسکوپی لازم است [۱۲-۱۷]. در بررسی‌های آزمایشگاهی نشانه‌هایی

نهشت و ژرفای کانه سازی

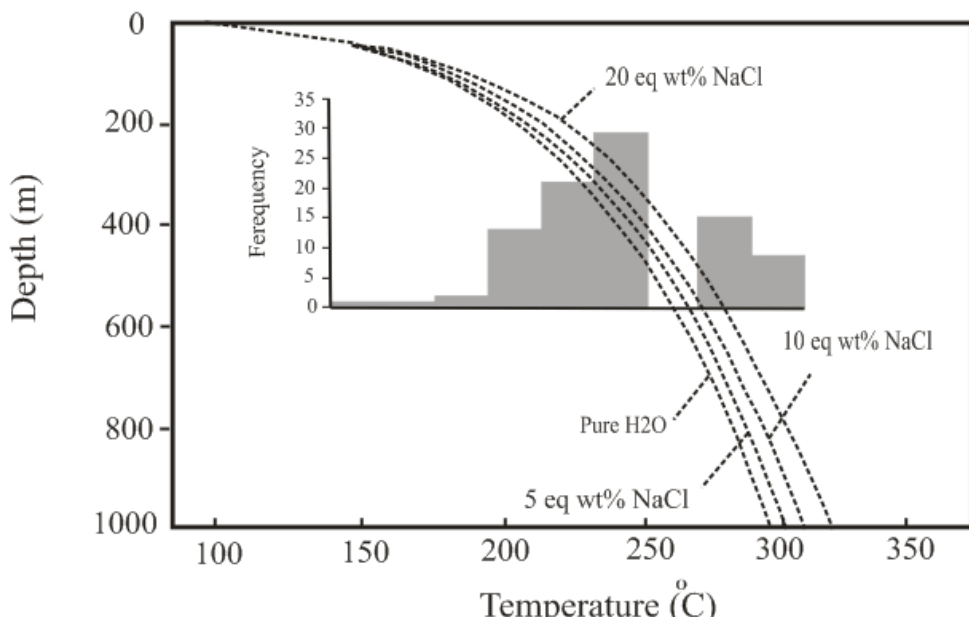
جوشش یکی از فرایندهای فیزیکی مهم در سامانه‌های زمین گرمایی است [۱۲]. در خداد فرایند جوشش، حضور برش‌های

بیشتر دارد.

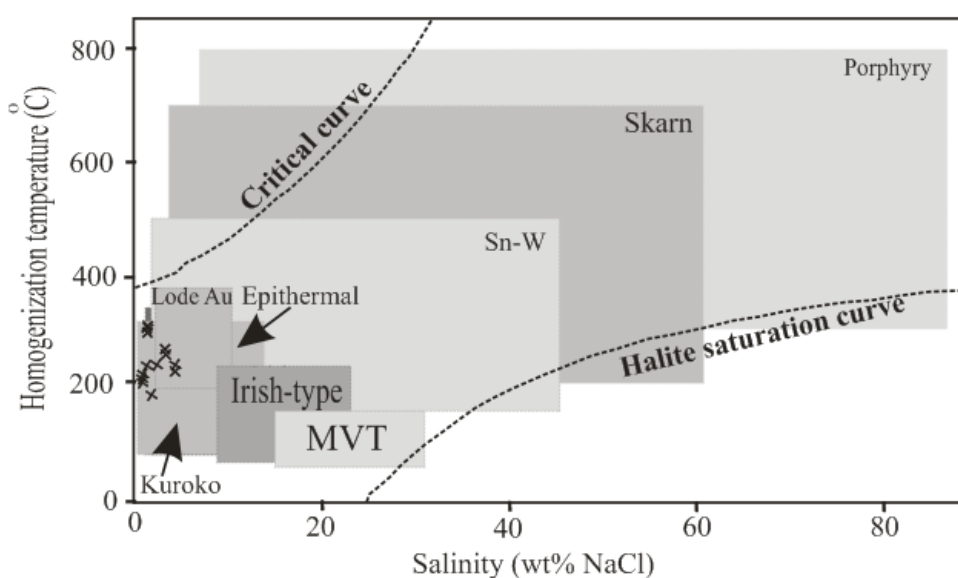
برداشت

در منطقه‌ی کالچویه کانه‌های فلزی ایجاد شده شامل کانه‌سازی اولیه (دروون‌زاد) دارای دو فاز سولفیدی کالکوپیریت، گالن و فاز اکسیدی مگنتیت، و کانه‌زایی برونزاد سولفیدی بیشتر شامل کوولیت و کالکوسیت، کانی‌های کربناتی شامل ملاکیت و آزوریت و اکسیدی و هیدروکسیدی شامل هماتیت و گوئتیت هستند. کانه‌زایی در کالچویه بر اساس شواهد صحرایی، ریز دماسنگی شاره‌های درگیر، دگرسانی فراگیر پرپولیتیک در سنگ‌های در برگیرنده نهشته، حجم پایین کانه‌های سولفیدی، سیمای شکاف پرکن (شانه‌ای) کوارتز، آمتیست به عنوان یک کانی باطله در کانسارهای اپی ترمال و نوع کانه‌های سولفیدی از نوع اپی ترمال با سولفیدی شدن پایین است [۲۲]. همچنانی موقعیت داده‌های شاره‌های درگیر نهشته‌ی کالچویه در نمودار ویلکینسون (شکل ۱۲) [۸] بیانگر آن است که نمونه‌های واپسی به منطقه‌ی جزء کانسارهای اپی ترمال و احتمالاً طلادر رده‌بندی می‌شود که حضور ژاسپروئید در شواهد صحرایی می‌تواند تاییدی بر پتانسیل حضور طلا در نهشته کالچویه باشد. عمق کانسارسازی با توجه به بررسی‌های صحرایی و شرایط جوشش در منطقه‌ی کالچویه بسیار کم است و کانسارسازی تقریباً در عمق ۴۰۰ متری رخ می‌دهد.

dal بر فرایند جوشش در کالچویه وجود دارد زیرا در بررسی‌های سنگ‌شناسی شاره‌های درگیر انواع غنی از فاز مایع در همزیستی انواع غنی از فاز بخار مشاهده می‌شوند. در بررسی‌های صحرایی، حضور کلسیت را به خصوص در حفره‌ها و شکستگی‌ها به صورت تیغه‌های کوچک تا بزرگ با سیلیس جانشین شده و در سیستم‌های اپی ترمال به عنوان معرف تهنشست از یک شاره‌ی در حال جوش [۱۸] در نظر گرفته می‌شود، می‌توان به عنوان یکی از فرایندهای جوشش نام برد. به منظور تعیین عمق و ژرفای کانی‌سازی در زیر سطح قدیمی آب زیرزمینی می‌توان از منحنی جوشش ایستابی (هیدروستاتیک) نسبت به ژرف استفاده کرد [۱۷]. بدین منظور منحنی‌های جوشش نسبت به ژرف با استفاده از شوری‌های مناسب باز شدن (شکل ۱۱) [۱۹]. در مورد نهشته مورد بررسی ژرفای کانی‌سازی، حدود ۴۰۰ متر برآورد می‌شود. شاره‌های درگیر در محیط‌های اپی ترمال غنی از طلا، دو فاز آبگون و بخار [۲۰، ۹] نقطه‌ی ذوب پایینی دارند [۱۱]. شوری کم شاره کانه‌ساز، امکان حضور همبافت‌های طلادر را فراهم می‌کند هر چند طلا به صورت دانه‌های آزاد مشاهده نشد. با توجه به دگرسانی زون ژاسپروئید و تأکید بر این که اصولاً ژاسپروئیدها با فلزات گران قیمت همراهند و عضو انتهاهای نهشته‌های طلای اپی ترمال در نظر گرفته می‌شوند [۲۱]، می‌توان بر پتانسیل حضور طلا تأکید کرد، ولی ادعای قاطع نیاز به بررسی‌های



شکل ۱۱ نمودار فراوانی داده‌های شاره‌های درگیر نهشته‌ی کالچویه با منحنی‌های جوشش $\text{H}_2\text{O}-\text{NaCl}$ نسبت به ژرف، منحنی‌های جوشش به عنوان مرجع نشان داده شده است [۱۹].



شکل ۱۲ تعیین نوع کانسار بر پایه درجه شوری و دمای همگن شدن شاره‌های درگیر نهشته‌ی کالچویه روی نمودار [۸].

Blackie", USA Chapman and Hall, New York, (1985) 239p.

[11] Hedenquist J.W., Henly R.W., "Effect of CO₂ on freezing point depression measurements of fluid inclusions: Evidence from active systems and application to epithermal to studies", *Economic Geology*, 80 (1985) 1379-1406.

[12] Giggenbach W.F., Stewart M.K., "Processes controlling the isotopic composition of steam and water discharges from steam vents and steam-heated pools in geothermal areas", *Geothermics*, 11 (1982) 71-80.

[13] Drummond S.E., Ohmoto H., "Chemical evolution and mineral deposition in boiling hydrothermal systems", *Economic Geology*, 80 (1985) 126-147.

[14] Plumlee G.S., "Fluid chemistry evolution and mineral deposition in the Main- Stage Creede epithermal system", *Economic Geology*, 89 (1994) 1860-1882.

[15] Simeone R., Simmons S.F., "Mineralogical and fluid inclusion studies of low- sulfidation epithermal veins at Osilo (Sardinia), Italy", *Mineralium Deposita*, 34 (1999) 705-717.

[16] Ronacher E., Richards J.P., Reed M.H., Bray C.J., Spooner E.T.C., Adams P.D., "Characteristics and evolution of the hydrothermal fluid in the North Zone high- grade area", *Porgera*

مراجع

- [1] Khoie N., Qorbani M., Tajbakhah P., "Copper deposits in Iran", Geological Survey of Iran, (1999) 421p.
- [2] سازمان جغرافیایی نیروهای مسلح, نقشه توپوگرافی شهر اصفهان, (۱۳۷۰) برگه ۳۹.
- [3] Lindgren W., "Mineral deposits", 4th ed. New York, McGraw Hill, (1933) 930p.
- [4] شهاب پور ج, "زمین شناسی اقتصادی", انتشارات دانشگاه شهرید باهنر کرمان, (۱۳۸۲) ۵۴۴ ص.
- [5] امینی ب., امینی چهرق. م., "نقشه زمین شناسی ۱:۱۰۰۰۰۰ کجان", سازمان زمین شناسی کشور, (۱۳۸۲) برگه شماره ۶۵۵۵.
- [6] عمیدی س., نبوی م. ح., "نقشه زمین شناسی ۱:۲۵۰۰۰۰ نایین", سازمان زمین شناسی کشور (۱۳۵۶).
- [7] Vink B.W., "Stability relations of malachite and azurite", *Mineralogy Magazine*, 50, (1986) 41-47.
- [8] Wilkinson J.J., "Fluid inclusions in hydrothermal ore deposits", *Lithos*, 55 (2001) 229-272.
- [9] Rodder E., "Fluid inclusions: Reviews in Mineralogy", 12 (1984) 644p.
- [10] Shepherd T., Rankin A.H., Alderton D. H.M., "A Practical Guide to Fluid Inclusion Studies"

- [20] Bodnar R.J., Reynolds T.J., Kuehn C.A., "Fluid inclusion systematics in epithermal systems", *Reviews in Economic Geology*, 2 (1985) 73-97.
- [21] Pirajno F., "Hydrothermal mineral deposits", John Wiley and Sons, Berlin, (1995) 709p.
- [22] Sillitoe R.H., "Epithermal models: Genetic types", geometrical controls and shallow features, p. 403- 417, in Kirkham, R. V., Sinclair, W. D., Thorpe, R. I. and Duke, J. M., (eds.) Mineral deposit modeling, GAC Special Paper 40 (1993) 798p.
- [23] Kretz R., "Symbols for rock-forming minerals", *American Mineralogist*, 68 (1983) 277-279.
- Gold Deposit, Papua New Guinea, *Economic Geology*, 99 (2004) 843-867.
- [17] Hassan- Nezhad A., Moore F., "A stable isotope and fluid inclusions study of the Qaleh-Zari Cu- Au- Ag deposit, Khorasan Province", *Iran. Journal of Asian Earth Sciences*, 27 (2006) 805- 818.
- [۱۸] حسنی پاک ع.ا."اکتشافات ذخایر طلا، انتشارات دانشگاه تهران"، (۱۳۸۱) ۷۴۲ ص.
- [19] Hass J.L., "The effect of salinity on the maximum thermal gradient of a hydrothermal system at hydrostatic pressure, *Economic Geology*", 66 (1971) 940-946.